

# ОЦЕНКА МЕТОДОМ МОНТЕ-КАРЛО ТОЧНОСТИ АНАЛИТИЧЕСКОГО МЕТОДА РАСЧЕТА КОЭФФИЦИЕНТА ПРОПУСКАНИЯ БИНАРНОЙ МАРКОВСКОЙ СМЕСИ

*На основе метода Монте-Карло разработан алгоритм имитационного моделирования переноса излучения с малоугловым рассеянием в бинарной марковской смеси и в эквивалентной однородной смеси. Данный алгоритм использован для оценки точности аналитического метода расчета коэффициента пропускания бинарной марковской смеси, основанного на малоугловом приближении.*

*Результаты расчетов показывают, что для одних и тех же значений оптической глубины слоя погрешность аналитического метода в бинарной марковской смеси меньше, чем погрешность в эквивалентной однородной смеси. Таким образом, критерии, определяющие границы применимости малоуглового приближения в однородной среде, могут быть использованы и для бинарной марковской смеси.*

*Алгоритм моделирования переноса излучения в бинарной марковской смеси может быть легко адаптирован для моделирования переноса излучения в стохастических средах с произвольной статистикой.*

*Ключевые слова: стохастический перенос излучения, бинарная марковская смесь, метод Монте-Карло, малоугловое приближение.*

## Введение

Теорию переноса излучения широко применяют для решения научных и прикладных задач в области астрофизики, переноса нейтронов, оптики атмосферы и гидрооптики, в медицине и биологии.

В классической теории переноса неоднородность распределения рассеивающих частиц вдоль трассы прохождения излучения описывается детерминированными функциями [1; 2]. Однако атмосфера, океан, биоткани и многие другие рассеивающие среды имеют сложную случайно-неоднородную (стохастическую) структуру. Характерный размер неоднородностей в подобных объектах сравним со средней длиной свободного пробега фотонов, что заметно сказывается на их оптических свойствах. Например, интенсивность солнечной радиации, прошедшей разорванную облачность, может в несколь-

ко раз превосходить интенсивность солнечной радиации, прошедшей однородную облачность, что оказывает определяющее влияние на тепловой режим атмосферы и подстилающей поверхности. Неоднородности в защите атомных реакторов приводят к увеличению уровня радиации. Неравномерное распределение интенсивности при облучении биотканей может сказаться на результатах лечения.

Поэтому параллельно с развитием детерминированной теории переноса большое внимание уделяется построению теории стохастического переноса излучения, основная цель которой – установить связь между статистическими характеристиками параметров среды и статистическими характеристиками полей излучения [1-10].

Получить точное аналитическое решение подобной задачи в общем случае невозможно. В связи с этим актуальной является разработка простых приближенных методов описания стохастического радиационного переноса, базирующихся на аналитическом усреднении и требующих небольшого количества входных параметров. Приближенные аналитические методы дают возможность быстро рассчитывать характеристики излучения и делают возможным анализ общих закономерностей переноса излучения в стохастических средах. Естественно, точность приближенных методов нуждается в оценке. Наиболее удобным, хорошо разработанным и широко применимым методом оценки точности приближенных решений широкого круга стохастических задач является метод Монте-Карло [11].

**Цель настоящей работы** – с помощью метода Монте-Карло оценить точность аналитического метода описания переноса излучения, основанного на малогловом приближении [13-17]. Оценка производится на примере расчета коэффициента пропускания.

### Бинарная марковская смесь

Одной из упрощенных моделей стохастической среды с произвольным масштабом неоднородностей является бинарная марковская смесь (БМС) [3-10] – среда, состоящая из двух несмешивающихся компонент, каждая из которых имеет свои оптические характеристики:  $f_i(\Omega; \Omega')$  – индикатрису рассеяния<sup>1</sup>,  $\sigma_i$ ,  $k_i$ ,  $\varepsilon_i = \sigma_i + k_i$  и  $\Lambda_i = \sigma_i / \varepsilon_i$  – соответственно, коэффициенты рассеяния<sup>2</sup>, поглощения<sup>3</sup>, экстинкции<sup>4</sup> и вероятность выживания фотона в  $i$ -й компоненте среды. Линейные размеры областей пространства, занимаемых компонентами, – случайные величины, распределенные по экспоненциальному закону.

Типичным примером (БМС) является разорванная облачность [7-10]: пересекающий ее фотон (рис. 1, кривая АБ) проходит сквозь чередующиеся участки облаков ( $i = 1$ ) и межоблачного пространства ( $i = 2$ ). Размеры этих участков являются случайными величинами, распределенными по экспоненциальному закону [3]. Внутренняя структура каждой из компонент считается однородной. Стохастичность задачи проявляется только в статистике распределения облачного поля, то есть в вероятности присутствия в точке  $\mathbf{r}$  облака или ясного неба.

<sup>1</sup> Функция плотности вероятности рассеяния фотона из направления  $\Omega'$  в направление  $\Omega$ .

<sup>2</sup> Величина, характеризующая рассеяние света элементарным объемом среды.

<sup>3</sup> Величина, характеризующая поглощение света элементарным объемом среды.

<sup>4</sup> Величина, характеризующая ослабление света элементарным объемом среды.

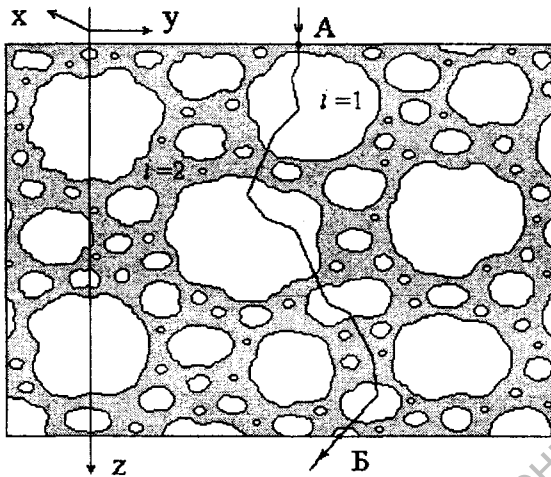


Рис. 1. Схематическое изображение пространственного распределения компонент бинарной марковской смеси и траектории пролетающего сквозь нее фотона

В качестве других примеров БМС можно рассматривать:

- 1) мелкие кровеносные сосуды и окружающую их ткань;
- 2) легочную ткань, которая состоит из большого количества альвеол, имеющих фрактальную структуру и заполненных воздухом;
- 3) защиту ядерных реакторов, состоящую из бетонных конструкций с гравием;
- 4) ядерные реакторы с кипящей водой, в которых возникает турбулентная смесь жидкости и пара;
- 5) неоднородности, возникающие в результате плазменных неустойчивостей при облучении лазером дейтериево-тритиевых таблеток в реакторах с инерционным удержанием плазмы.

Если распространение излучения в БМС можно представить как марковский случайный процесс, удовлетворяющий условию причинности<sup>5</sup> [12], интенсивность описывается системой двух связанных интегро-дифференциальных уравнений:

$$\Omega \cdot \nabla p_1 I_1(\mathbf{r}, \Omega) + \varepsilon_1 p_1 I_1(\mathbf{r}, \Omega) = \frac{\sigma_1}{4\pi} \int_{4\pi} p_1 I_1(\mathbf{r}, \Omega') f_1(\Omega \cdot \Omega') d\Omega' - \frac{p_1 I_1(\mathbf{r}, \Omega)}{l_1} + \frac{p_2 I_2(\mathbf{r}, \Omega)}{l_2}, \quad (1)$$

$$\Omega \cdot \nabla p_2 I_2(\mathbf{r}, \Omega) + \varepsilon_2 p_2 I_2(\mathbf{r}, \Omega) = \frac{\sigma_2}{4\pi} \int_{4\pi} p_2 I_2(\mathbf{r}, \Omega') f_2(\Omega \cdot \Omega') d\Omega' - \frac{p_2 I_2(\mathbf{r}, \Omega)}{l_2} + \frac{p_1 I_1(\mathbf{r}, \Omega)}{l_1},$$

<sup>5</sup> Если ось  $z$  декартовой системы координат совпадает с направлением распространения излучения, то световое поле в плоскости  $z_0 = const$  зависит только от параметров среды в области  $z \leq z_0$ .

где  $\nabla = \mathbf{i} \partial/\partial x + \mathbf{j} \partial/\partial y + \mathbf{k} \partial/\partial z$  – оператор градиента,  $\mathbf{i}, \mathbf{j}, \mathbf{k}$  – единичные векторы декартовой системы координат,  $I_i(\mathbf{r}, \Omega)$  – усредненные значения интенсивности в точке  $\mathbf{r}$  в направлении  $\Omega$  при условии, что точка  $\mathbf{r}$  находится в компоненте  $i$ ,  $p_i = l_i/(l_1 + l_2)$  – вероятность нахождения компоненты  $i$  в произвольной точке смеси,  $l_1, l_2$  – средние хорды компонент (средние размеры участков, занимаемых первой и второй компонентами).

Среднее значение интенсивности определяется формулой

$$\langle I(\mathbf{r}, \Omega) \rangle = p_1 I_1(\mathbf{r}, \Omega) + p_2 I_2(\mathbf{r}, \Omega). \quad (2)$$

Данная модель называется в литературе моделью низкого порядка (модель Левермора) [3; 4; 8; 9].

**Малоугловое приближение.** В случае изотропного рассеяния<sup>6</sup> и большой глубины слоя, излучение, рассеянное в обратном направлении, слишком велико, что нарушает принцип причинности. Система (1) дает большую погрешность, и приходится использовать модели высоких порядков, значительно более громоздкие [3-6; 8; 9].

Большинство же природных сред имеют в своем составе значительный процент частиц, размеры которых велики по сравнению с длинами волн оптического диапазона. Индикатрисы рассеяния подобных частиц сильно вытянуты вперед, и большая часть рассеянных фотонов отклоняется от первоначального направления незначительно.

Таким образом, если обе компоненты БМС состоят из частиц, имеющих сильно вытянутые индикатрисы рассеяния, перенос излучения можно описывать с достаточной точностью в рамках модели низкого порядка. При этом для упрощения системы (1) можно использовать малоугловое приближение и методы преобразования Фурье [1; 2].

Предложенный подход позволяет рассчитывать в аналитическом виде пространственно-угловое распределение интенсивности в БМС и передаточные характеристики БМС, дает возможность исследовать их зависимость от оптических параметров БМС и среднего размера неоднородностей. Результаты, полученные в рамках малоугловой модели БМС, опубликованы в работах [13-17].

### Аналитический метод расчета коэффициента пропускания БМС

Коэффициент пропускания бесконечно широкого слоя глубиной  $H$  представляет собой отношение интенсивности излучения, падающего на границу среды, к интенсивности излучения, направленной в переднюю полусферу на данной глубине [2]:

$$K(z) = \frac{\int_{-\infty}^{+\infty} \int_{-\infty}^{+\infty} dx, dy \int_{+2\pi} I(x, y, z = H, \Omega) d\Omega}{\int_{-\infty}^{+\infty} \int_{-\infty}^{+\infty} dx, dy \int_{+2\pi} I(x, y, z = 0, \Omega) d\Omega}.$$

<sup>6</sup> В этом случае индикатриса рассеяния является сферической.

В рамках малоугловой модели для среднего значения коэффициента пропускания БМС было получено следующее выражение [13]:

$$K_{БМС}(z) = \frac{\gamma_2 - \langle \tilde{k} \rangle}{\gamma_2 - \gamma_1} \exp(-\gamma_1 z) - \frac{\gamma_1 - \langle \tilde{k} \rangle}{\gamma_2 - \gamma_1} \exp(-\gamma_2 z), \quad (5)$$

$$\text{где } \left. \begin{matrix} \gamma_1 \\ \gamma_2 \end{matrix} \right\} = \frac{1}{2} \left( \tilde{k}_1 + \frac{1}{l_1} + \tilde{k}_2 + \frac{1}{l_2} \mp \sqrt{\left( \tilde{k}_2 + \frac{1}{l_2} - \tilde{k}_1 - \frac{1}{l_1} \right)^2 + \frac{4}{l_1 l_2}} \right),$$

$\tilde{k}_i = k_i(1 - \Lambda_i F_i)$  – эффективное значение показателя поглощения;

$\langle \tilde{k} \rangle = \tilde{k}_1 p_1 + \tilde{k}_2 p_2$  – среднее значение эффективного показателя поглощения;

$$Fr_i = \frac{\left( (1 + \mu_i) \sqrt{1 + \mu_i^2} - (1 - \mu_i^2) \right)}{\left( 2\mu_i \sqrt{1 + \mu_i^2} \right)} - \text{доля излучения, рассеянного в переднюю}$$

полусферу;

$$\mu_i = \frac{1}{2} \int_{-1}^1 f(\cos \beta) \cos \beta d(\cos \beta) - \text{средний косинус индикатрисы рассеяния.}$$

Можно оценить влияние стохастичности среды на перенос излучения, сопоставив средние значения интегральных параметров рассеянного излучения в бинарной марковской смеси и в эквивалентной однородной смеси. Эквивалентная однородная смесь (ЭОС) – среда, состоящая, как и БМС, из частиц двух типов, но в отличие от БМС не разделенных по компонентам, а равномерно перемешанных друг с другом.

Коэффициент пропускания ЭОС имеет вид

$$K_{ЭОС}(z) = \exp(-\langle \tilde{k} \rangle z). \quad (6)$$

**Моделирование методом Монте-Карло.** В программе, результаты расчетов которой представлены в данной статье, коэффициенты пропускания БМС и ЭОС, рассчитанные методом Монте-Карло, определяются как

$$K_{БМС}^{M-K} = \frac{N}{N_{БМС}}, \quad K_{ЭОС}^{M-K} = \frac{N}{N_{ЭОС}},$$

где  $N$  – общее число фотонов, запущенных в БМС или ЭОС:

$N_{БМС}$  и  $N_{ЭОС}$  – соответственно, число фотонов, прошедших слой БМС или ЭОС глубиной  $H$ .

Излучение падает на плоскую поверхность среды вдоль ее нормали, ось  $z$  расположена параллельно направлению распространения излучения. Пучек считается бесконечно узким и мононаправленным, координаты точки входа

фотонов в БМС  $(0,0,0)$ , а начальное значение координат единичного вектора, определяющего направление движения,  $(0,0,1)$ .

Каждое значение  $K_{БМС}^{МК}$  и  $K_{ЭОС}^{МК}$  рассчитано для 200000 фотонов.

Моделирование проводилось с использованием методов, приведенных в [18] (индикатрисы рассеяния имеют вид аппроксимации Хеньи-Гринштейна [1, 2]). БМС рассматривается как одномерная стохастическая среда, состоящая из чередующихся плоских слоев случайной толщины, занимаемых первой и второй компонентами. Тем не менее в области применимости малоуглового приближения зависимость переноса излучения от размера неоднородностей в направлении, перпендикулярном оси пучка, минимальна, что и оправдывает переход к одномерной модели.

Порядок чередования компонент и толщина слоев, занимаемых первой и второй компонентами смеси, разыгрывался для каждого фотона отдельно по мере его прохождения сквозь слой среды. Траектории фотонов в горизонтальном направлении ограничены условием  $\sqrt{x^2 + y^2} \leq 5H$ .

Алгоритм и процедура расчета коэффициента пропускания БМС может быть легко адаптирована для расчета коэффициентов пропускания стохастических сред с произвольной статистикой.

**Результаты численных расчетов.** При расчетах использованы безразмерные оптические параметры:

$$\tau = \langle \varepsilon \rangle z, \quad \tilde{l}_i = \langle \varepsilon \rangle l_i, \quad \tilde{\varepsilon}_i = \varepsilon_i / \langle \varepsilon \rangle.$$

Погрешность аналитического метода расчета коэффициентов пропускания вычисляется следующим образом:

$$Del_{ЭОС} = \frac{K_{ЭОС} - K_{ЭОС}^{МК}}{K_{ЭОС}^{МК}} \cdot 100\%, \quad Del_{БМС} = \frac{K_{БМС} - K_{БМС}^{МК}}{K_{БМС}^{МК}} \cdot 100\%,$$

где  $Del_{БМС}$  и  $Del_{ЭОС}$  – соответственно, погрешности в БМС и ЭОС,

Расчеты проводились на примере разорванной облачности с параметрами:  $\tilde{l}_1 = \tilde{l}_2 = 4$ ,  $\tilde{\varepsilon}_1 = 1,95$ ,  $\Lambda_1 = 0,9$  – облачная среда,  $\tilde{\varepsilon}_2 = 0,05$ ,  $\Lambda_2 = 0,9$  – межоблачные промежутки для трех значений средних косинусов индикатрис рассеяния  $\mu_i$ .

Межоблачные промежутки заполнены теми же частицами, что и облака, но со значительно меньшей концентрацией. Оптические параметры разорванной облачности заимствованы из [2].

Результаты расчетов представлены в табл. 1.

Как видно, значения коэффициентов пропускания БМС и ЭОС, полученные методом Монте-Карло, всегда меньше, чем рассчитанные аналитическим путем согласно (5) и (6). В результате рассеяния траектории фотонов отклоняются от оси пучка, что приводит к возрастанию средней длины их пробега и увеличивает вероятность поглощения.

При  $\mu_1 = \mu_2 = 0,975$  погрешность расчета коэффициентов пропускания незначительна даже при  $\tau = 10$  как для БМС, так и для ЭОС. Для более широких индикатрис погрешность естественно возрастает.

Таблица 1

**Кoeffициенты пропускания  
БМС и ЭОС**

| Оптич.<br>глубина<br>слоя<br>$\tau$ | Кoeffициент про-<br>пускания в БМС |                | Погреш-<br>ность в<br>БМС<br>$Del_{БМС}$ % | Кoeffициент про-<br>пускания в ЭОС |                | Погрешность<br>в<br>ЭОС<br>$Del_{ЭОС}$ % |
|-------------------------------------|------------------------------------|----------------|--|------------------------------------|----------------|--|
|                                     | $K_{БМС}$                          | $K_{БМС}^{МК}$ |  | $K_{ЭОС}$                          | $K_{ЭОС}^{МК}$ |  |
| $\mu_1 = \mu_2 = 0.975$             |                                    |                |  |                                    |                |  |
| 2                                   | 0,823                              | 0,816          | 0,9  | 0,811                              | 0,805          | 0,7                                      |
| 4                                   | 0,688                              | 0,674          | 2,1  | 0,658                              | 0,643          | 2,3                                      |
| 6                                   | 0,578                              | 0,555          | 4,1  | 0,533                              | 0,508          | 4,9                                      |
| 8                                   | 0,486                              | 0,454          | 7,0  | 0,432                              | 0,401          | 7,7                                      |
| 10                                  | 0,409                              | 0,377          | 8,5  | 0,351                              | 0,316          | 11,1                                     |
| $\mu_1 = \mu_2 = 0.95$              |                                    |                |  |                                    |                |  |
| 2                                   | 0,816                              | 0,8            | 2,0  | 0,803                              | 0,788          | 1,9                                      |
| 4                                   | 0,677                              | 0,644          | 5,1  | 0,645                              | 0,609          | 5,9                                      |
| 6                                   | 0,565                              | 0,519          | 8,9  | 0,517                              | 0,464          | 11,4                                     |
| 8                                   | 0,472                              | 0,419          | 12,6                                       | 0,415                              | 0,349          | 18,9                                     |
| 10                                  | 0,395                              | 0,338          | 16,9                                       | 0,334                              | 0,258          | 29,5                                     |
| $\mu_1 = \mu_2 = 0.9$               |                                    |                |  |                                    |                |  |
| 2                                   | 0,801                              | 0,767          | 4,4  | 0,786                              | 0,753          | 4,4                                      |
| 4                                   | 0,655                              | 0,594          | 10,3                                       | 0,617                              | 0,547          | 12,8                                     |
| 6                                   | 0,539                              | 0,459          | 17,4                                       | 0,485                              | 0,384          | 26,3                                     |
| 8                                   | 0,445                              | 0,357          | 24,6                                       | 0,381                              | 0,266          | 43,2                                     |
| 10                                  | 0,367                              | 0,275          | 33,5                                       | 0,299                              | 0,18           | 66,1                                     |

Результаты расчетов показывают, что для одних и тех же значений оптической глубины погрешность в БМС  $Del_{БМС}$  меньше, чем погрешность  $Del_{ЭОС}$  в однородной смеси. Физически это объясняется тем, что для фотона, пролетающего сквозь стохастическую среду, вероятность испытать столкновение с частицей и при этом поглотиться или рассеяться всегда ниже, чем в однородной среде [1-3]. Соответственно, среднее значение коэффициента пропускания стохастической среды больше, чем однородной, а погрешность расчета меньше.

### Заключение

Погрешность расчетов коэффициента пропускания БМС аналитическим методом, разработанным в рамках малоуглового приближения, не превышает аналогичную величину в эквивалентной однородной смеси. Соответственно, критерии, определяющие границы применимости малоуглового приближения в однородной среде (например, соотношение  $\Lambda(1 - Fr)\tau \leq 0,2$  [2]), могут применяться и для БМС.

Как известно [1; 2], при использовании малоуглового приближения погрешность расчета коэффициента пропускания среды является также максимальным значением погрешности расчета ее оптической передаточной функции<sup>7</sup>.

<sup>7</sup> ОПФ – одна из основных характеристик передачи качества изображения, отображающая степень его искажения в зависимости от глубины слоя рассеивающей среды и размера его деталей (чем меньше детали изображения, тем хуже они видны).

Таким образом, ограничения, полученные для коэффициента пропускания, могут применяться и при вычислении оптической передаточной функции.

## ЛИТЕРАТУРА

1. **Зеге, Э.П.** Перенос изображения в рассеивающей среде / Э.П. Зеге, А.П. Иванов, И.Л. Кацев. – Минск: Наука и техника, 1985. – 327 с.
2. **Валентюк, А.Н.** Оптическое изображение при дистанционном наблюдении / А.Н. Валентюк, К.Г. Предко. – Минск: Наука и техника, 1991. – 359 с.
3. **Pomraning, G.C.** Linear Kinetic Theory and Particle Transport in Stochastic Mixtures / G.C. Pomraning. – World Scientific Publishing, Singapore, 1991. – 235 p.
4. **Valentyuk, A.N.** Stochastic radiative transfer and causality condition / A.N. Valentyuk // J. Quant. Spectr. Radiat. Transfer. – 1995. – Vol. 53. – № 6. – P. 693-704.
5. **Valentyuk, A.N.** A functional description of stochastic radiative transfer / A.N. Valentyuk // J. Quant. Spectr. Radiat. Transfer. – 1996. – Vol. 56. – P. 447-464.
6. **Valentyuk, A.N.** Stochastic radiative transfer in M-component markovian mixtures / A.N. Valentyuk // J. Quant. Spectr. Radiat. Transfer. – 1998. – Vol 60, – № 6. – P. 1069-1086.
7. **Zuev, V.E.** Model of Outgoing Long-Wave Radiation in the presence of Broken Clouds / V.E. Zuev, T.B. Zhuravleva, G.A. Titov // J. of Geophys. Res. – 1987. – V. 92. – P. 5533-5539.
8. **Malvagy, F.** Stochastic atmospheric radiative transfer / F. Malvagy, G.C. Pomraning // Atmos. Oceanic Opt. – 1993. – V. 6. – № 9. – P. 610-622.
9. **Помранинг, Г.С.** Взаимодействия облако – радиация: модель Титова и другие модели / Г.С. Помранинг // Оптика атмосферы и океана. – 1999. – Т. 12. – № 3. – С. 215-221.
10. **Lane, D.E.** Radiative transfer through broken clouds: observations and model validation / D.E. Lane, G. Kristen, R.C.J. Somerville // Journal of Climate. – 2002. – V. 15. – P. 2921-2933.
11. **Каргин, Б.А.** Имитационное моделирование кучевой облачности для исследования процессов переноса солнечной радиации в атмосфере методом Монте-Карло / Б.А. Каргин, С.М. Пригарин // Оптика атмосферы и океана. – 1994. – Т. 7. – № 9. – С. 1275-1287.
12. **Тихомиров, В.И.** Марковские процессы / В.И. Тихомиров, М.А. Миронов. – М.: Сов. Радио, 1977. – 488 с.
13. **Noskova, M.** Stochastic laser-beam transfer through a binary markovian mixture / M. Noskova, A. Valentyuk. // J. Appl. Opt. – 1997. – V. 36. – № 30. – P. 325-331.
14. **Валентюк, А.Н.** Угловая структура лазерного излучения в бинарной марковской смеси / А.Н. Валентюк, М.С. Носкова // Журн. Прикл. Спектр. – 1999. – Т. 66. – № 1. – С. 36-42.
15. **Носкова, М.С.** Оптическая передаточная функция бинарной марковской смеси / М.С. Носкова // Журн. Прикл. Спектр. – 2004. – Т. 71. – № 2. – С. 198-203.
16. **Носкова, М.С.** Итерационное решение задачи определения оптической передаточной функции бинарной марковской смеси / М.С. Носкова // Оптический журнал. – 2004. – Т. 71. – № 9. – С. 16-19.
17. **Noskova, M.S.** Small angle model of radiative transfer in a binary markovian mixture / M.S. Noskova // Twelfth Joint International Symposium on Atmospheric and Ocean Optics / Atmospheric Physics, Tomsk, Russia, 27-30 June 2005. / Institute of Atmospheric Optics SB RAS; ed. by G.G. Matvienko, G.A. Zherebtsov, Proc. of SPIE Vol. 6160. – 2006. – P. 616016-1 - 616016-7.
18. **Букатый, В.И.** Пространственное и угловое распределение светового поля в ансамбле частиц с сильно вытянутой индикатрисой рассеяния / В.И. Букатый, Т.К. Кронберг, Д.В. Михеев // Оптика атмосферы и океана. – 2001. – Т. 14. – № 3. – С. 230-232.